

# طراحی اینورتر منبع جریان جهت تغذیه گوره القایی

جواد علمائی

کارشناس ارشد دفتر فنی و مهندسی اداره کل برق و انرژی  
جهاد سازندگی

جعفر میلی منفرد

استادیار دانشکده برق دانشگاه صنعتی امیرکبیر

## چکیده

در این مقاله بررسی و طراحی اینورتر منبع جریان جهت تغذیه گوره القایی به عمل آمده است و محدودات دینامیک بار مشخص می‌کند که ولتاژ دو سر بار مورد نظر (گوره القایی) و جریان سیم پیچ در حالت پایدار سینوسی می‌باشد. ضمناً تأثیر مشخصات مدار بر عملکرد اینورتر بررسی و ناحیه عملکرد مطمئن فرکانسی آن معین گردیده است.

## Design of Current Source Inverter for Induction Furnace

Jafar Mili Monfared, Ph. D.

Javad Olamaie, M. Sc.

Assistant Professor Elec. Eng.  
faculty Amirkabir Univ.

Tech. Office Elec. Department  
Ministry of Jahad. e. Sazandegi

### Abstract

In this paper design and basic operation of current source inverter to supply induction heating is discussed.

The load dynamic equations are developed and shown the load voltage and coil-current are sinusoidal in stable state. thus the inverter system is designed on this base. At last the effect of circuit parameters on the operation of inverter is discussed and a reliable operating region is established.

### اساس اینورتر منبع جریان

شدیداً اندوکتیو می‌باشد. منبع تغذیه DC یکسوساز پل گرتز سه فاز تمام کنترل شده بوده و توان انتقالی به گوره توسط آن صورت می‌گیرد که در واقع زاویه آتش تریستور ولتاژ خروجی مدار یکسوساز را کنترل می‌کند.

اصول اساسی این نوع اینورتر با توجه به مدار ساده آن در شکل (۱) نشان داده شده است. این نوع مبدل از مدار واسط (لینک DC) به صورت سلف سری، با اندوکتانس بزرگ، استفاده می‌کند. وظیفه سلف مذکور، صاف کردن جریان ورودی به اینورتر بوده و لذا از این دید بار رکتیفایر



## اطلاعات مورد نیاز جهت طراحی

برای طراحی اینورتر منبع جریان جهت تغذیه کوره القابی لازم است مشخصات بار تعیین گردد. مشخصات مدل بار می‌توانند از اطلاعات داده شده ذیل به دست آید:

### الف - توان راکتیو

مجموع تلفات فوکو و هیسترزیس می‌باشد که در کویل کوره تبدیل به حرارت می‌گردد.

### ب - توان راکتیو

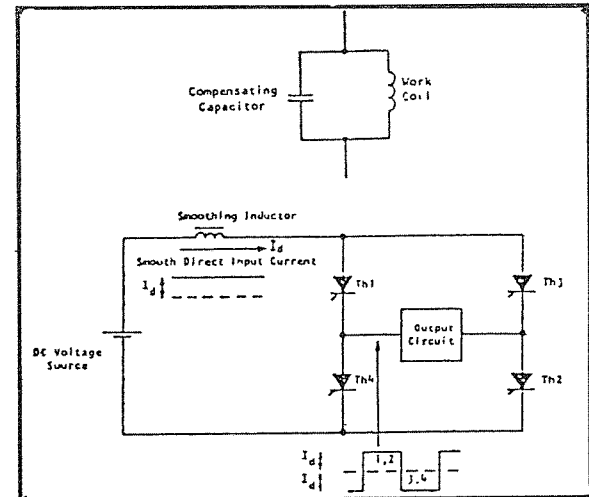
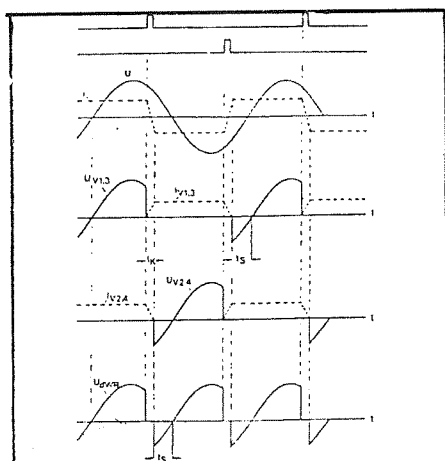
به علت وجود حالت سلفی کوره، بار شدیداً اندوکتیو بوده و توان راکتیو مصرف می‌کند. برای جبران توان مذکور از خازن جبران‌ساز استفاده می‌شود. لذا توان راکتیو عبارت است از توان راکتیو خازنی که در فرکانس نامی و ولتاژ نامی تعریف می‌شود.

**ج - فرکانس خروجی**  
از آنجائی که بار کوره از نوع گرمایش کلی (through heating) در نظر گرفته شده است، تغییرات فرکانس نسبت به کوره‌های ذوب بسیار کمتر خواهد بود، لذا اینورتر جریان برای این منظور انتخاب گردیده است.

### د - ولتاژ منبع DC

در اینورترهای منبع جریان، تغذیه DC همراه با سلف صاف کننده  $L_{DC}$  به صورت منبع جریان مدل می‌گردد. ولتاژ نامی نیز ولتاژی است که زاویه آتش یکسوساز صفر بوده و شبیه حالت دیودی عمل می‌کند.

با توجه به مطالب ذکر شده مدار معادل بار مطابق شکل ۳-a خواهد بود ولی برای طراحی از مدار تبدیل یافته ۳-b است.

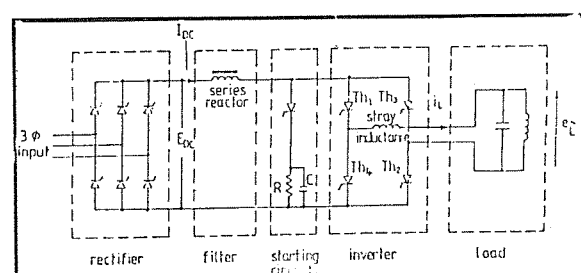


شکل (۱) مدار اساسی اینورتر موافق (منبع جریان)

منبع تغذیه DC همراه با سلف واسط به صورت یک منبع جریان ثابت قابل تنظیم برای اینورتر پل تکفاصل عمل می‌کند. با آتش کردن متناوب جفت تریستورهای (2,1) و (4,3) جریان DC ورودی به اینورتر در خروجی به شکل موج مربعی تبدیل خواهد شد و هر تریستور برای نیم پریود از کل زمان کار خروجی روشن خواهد بود.

## مشخصات خروجی اینورتر

دیاگرام سیستم اصلی این نوع اینورتر در شکل ۲-a رسم شده است که در آن  $L_{DC}$  سلف صاف کننده جریان بوده و  $L_{C}$  به ترتیب کویل کوره و خازن جبران‌ساز را تشکیل می‌دهند. شکل موجهای مربوط به جریان و ولتاژ دوسر اینورتر، تریستور و ولتاژ بار نیز در شکل ۲-b رسم شده است.



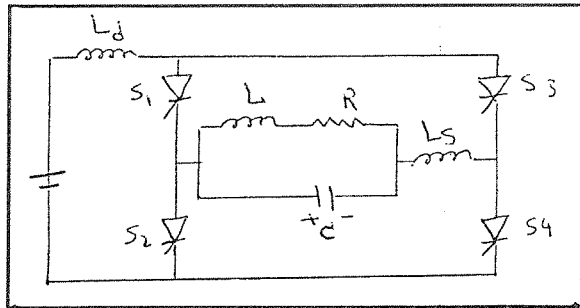
نمودار کلی سیستم (a)

(b) شکل موجهای سیستم

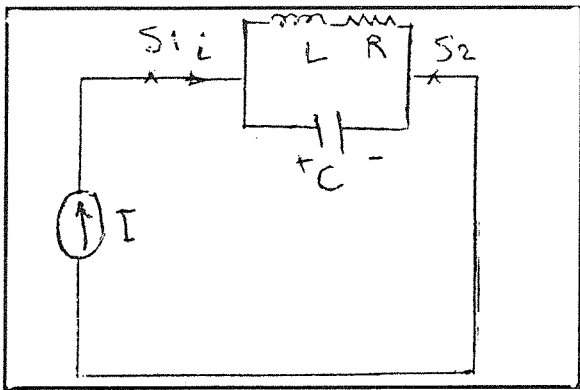
شکل (۲)



تریستورهای  $S_1$  و  $S_4$  هدایت جریان را به عهده بگیرند شکل ۴-ب حاصل می‌گردد.



(a) مدار اینورتر



(b) مدار معادل وقتی که دو تریستور  $S_1$  و  $S_4$  هدایت می‌کنند.

شکل (۴)

فرض می‌کنیم شرایط اولیه عبارتند از:

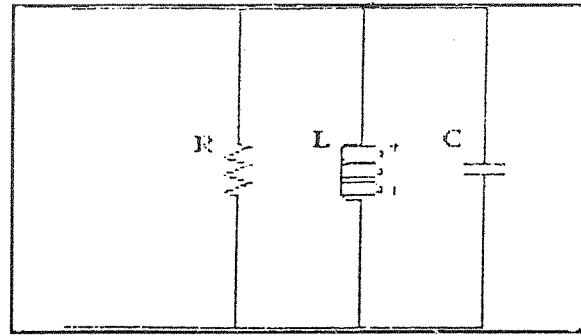
$$i(0^+) = I_0 \quad (1)$$

$$e_c(0^+) = -E_0 \quad (2)$$

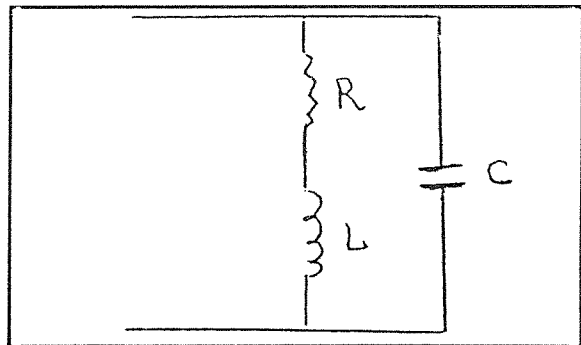
در اینورتر منبع جریان که بار از خازن و کویل موازن تشکیل شده است، جهت رسیدن به حالت پایدار (انجام صحیح کمتواسیون در لحظات اول) باید ابتدا جریان اولیه در کویل جاری و ولتاژ معکوس  $E_0$  از طریق مدار استارت به دو سر بار اعمال گردد.

حال معادلات دیفرانسیل را بر اساس مدار معادل بالا می‌نویسیم لذا داریم:

استفاده می‌گردد. مدل به دست آمده به صورت مدار نوسانی میراشونده ضعیف عمل کرده و بار و توان کوره مستقل از عملکرد اینورتر باقی خواهد ماند.



(a) مدار معادل بار



(b) مدار معادل تبدیل پافته

شکل (۳)

### معادلات دینامیک بار

قدم بعدی در طراحی، تحلیل پاسخ مدار به جریان ورودی به آن می‌باشد. برای به دست آوردن معادلات دینامیک بار شرایط ذیل فرض می‌گردد:

- ۱- تریستورها به صورت سویچهای ایده‌آل عمل می‌کنند.
- ۲- سلف  $L_d$  به اندازه کافی بزرگ فرض می‌گردد، به طوری که منبع تغذیه اینورتر را می‌توان به صورت منبع جریان مدل نمود.
- ۳- از سلف  $dI/dt$  صرف نظر می‌گردد.

شکل ۴-۸ مدار ساده شده اینورتر را نشان می‌دهد. اگر



$$e_c(T/2^+) = -e_c(0^+) = E_0 \quad (9)$$

$$Ri + L di/dt = e_c \quad (3)$$

$$i(T/2^+) = -I_0 e^{-(\pi p/2Q)} + I_D [1 + e^{-(\pi p/2Q)}] = -I_0 \quad (10)$$

$$i + C de_c/dt = I_D \quad (4)$$

$$e_c(T/2^+) = RL_D (I + e^{-(\pi p/2Q)}) + E_0 e^{-(\pi p/2Q)} = E_0 \quad (11)$$

از معادلات (10) و (11) داریم:

$$\frac{I_0}{I_D} = -\frac{1 + e^{-(\pi p/2Q)}}{1 - e^{-(\pi p/2Q)}} = -K \quad (12)$$

و بالآخره:

$$E_0/RI_D = K \quad (13)$$

معمولًا در کوره های الکایی مقدار  $Q$  بین ۳ تا ۲۰ می باشد. اگر  $Q$  را بین ۵ تا ۲۰ فرض کنیم روابط بالا ساده تر می گردند در نتیجه داریم:

$$\omega = \omega_0, \phi = \pi/2, P = 1$$

از حل معادله دیفرانسیل بالا خواهیم داشت:

$$i = I_D - Pe^{-(\omega_0 t/2Q)} - [I_0 \sin(\omega t - \phi) + I_D \sin(\omega t + \phi) + E_0/x \sin \omega t] \quad (6)$$

سپس می توان  $e_c$  را به دست آورد که داریم:

$$e_c = R I_D - Pe^{-(\omega_0 t/2Q)} [RI_D \sin(\omega t + \phi) - [-E_0/Q + x(I_D - I_0)] \sin \omega t - E_0 \sin(\omega t - \phi)] \quad (7)$$

و از آنجا:

$$K = \frac{1 + e^{-(\pi/2Q)}}{1 - e^{-(\pi/2Q)}} \quad (14)$$

$$\omega_0 = 1/LC \quad \alpha = R/2L$$

از جای گذاری مقادیر  $I_0$  و  $E_0$  و  $P$  در معادلات (6) و (7) روابط زیر به دست می آید:

$$\omega = \omega_0 \alpha^2 \quad P = \omega_0 / \omega$$

$$i/I_D = 1 - e^{-(\omega t/2Q)} [(1 + K) \cos \omega t + K/Q \sin \omega t] \quad (15)$$

$$x = \omega_0 L \quad Q = \omega_0 L/R \quad \phi = \arccos(\alpha/\omega_0)$$

$$e_c/RI_D = 1 - e^{-(\omega t/2Q)} (1 + K) [\cos \omega t - Q \sin \omega t] \quad (16)$$

از روابط به دست آمده برای  $i$  و  $e_c$  می توان مشاهده نمود که شکل موج ولتاژ خازن و جریان کویل به صورت نوسانی میرا شونده ضعیف می باشد. ضریب میرایی به مقدار  $R$  عادل تلفات کوره بستگی دارد.

رابطه به دست آمده برای نیم سیکل اول می باشد و برای نیم سیکل بعدی نیز باید مدار را حل کنیم. در لحظه  $\omega t = \pi$  جریان منع  $I_D$  با همان دامنه ولی با جهت عکس به بار اعمال می گردد، حال باید شرایط اولیه را برای شروع نیم پریود دوم به دست آورد. این مقادیر شرط نهایی به دست آمده از روابط قبلی خواهند بود.

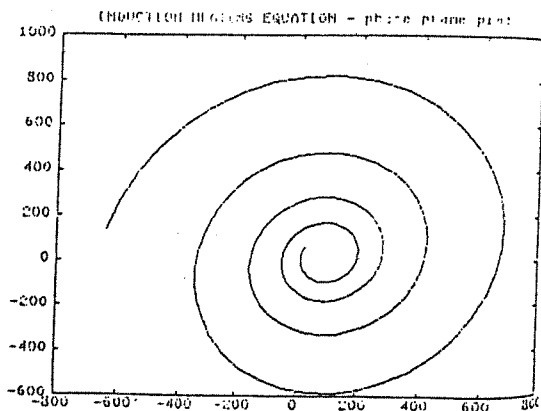
برای نیم سیکل دوم در روابط بالا جای  $I_D$  با  $-I_D$  عوض می گردد.

شکل (5) شکل موجهای جریان و ولتاژ را برای کوره ۴۵ KW و فرکانس ۲ KHZ نشان می دهد.

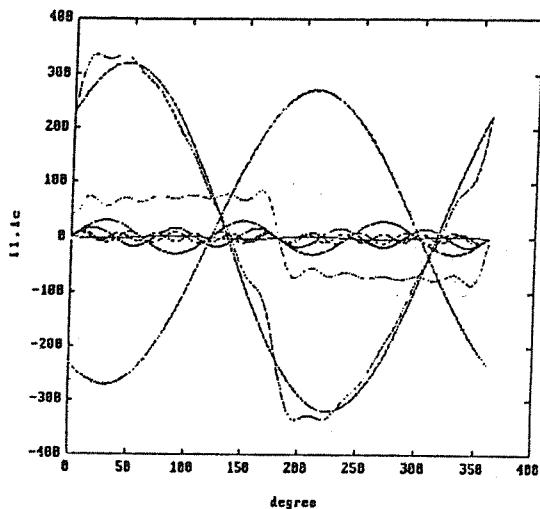
در شکل ۵-a، منحنی های رسم شده صرفاً برای نیم پریود از ورودی (جریان موج مربعی) به دست آمده ولی در شکل ۵-b منحنی های مذکور برای پریود کامل ورودی رسم شده است. در نهایت بعد از گذشت حالت گذرا، شکل

$$i(T/2^+) = -i(0^+) = -I_0 \quad (8)$$





شکل (۶) دیاگرام فاز ولتاژ بر حسب جریان



شکل (۷) شکل موج جریانهای خازنی و کویل از جریان خروجی اینورتر<sup>(۱)</sup>

جریان خازن دارای کمی اعوجاج می باشد که هارمونیکهای فرد اول تا نهم آن نیز رسم شده است. با تقریب خوبی می توان از هارمونیکهای غیر از هارمونیک اول صرف نظر نمود.

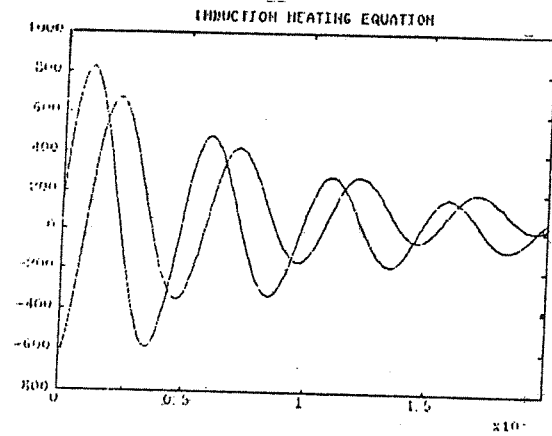
ولتاژ بار می تواند با استفاده از جمع آثار اعمال هارمونیکهای مختلف به بار و محاسبه ولتاژ خازن و کویل به دست آید. از محاسبات انجام شده برای کوره مورد نظر، ولتاژ هارمونیک اول به ترتیب برابر با  $63\%$  و  $1\%$  به دست آمده است، لذا می توان با قطعیت گفت که دامنه هارمونیکها بجز هارمونیک اصلی اثر قابل ملاحظه ای که موجب اعوجاج شکل موج اصلی ولتاژ دو سر بار گردد، نخواهد داشت این مسئله ناشی از آن است که برای هارمونیک  $n$  ام جریان ورودی به مدار بار، امپدانس نشان داده شده با  $L_n$ ،  $C_n$  برابر

موج ولتاژ بار و جریان کویل به حالت پایدار رسیده و سینوسی خواهد بود به علاوه با نگاه به منحنی ها می توان اختلاف فاز بین آنها را به دست آورد که برای کوره مورد نظر حدود  $80^\circ$  می باشد. شکل (۶) دیاگرام فازی را نشان می دهد که بیانگر پایداری مدار به پاسخ ورودی است.

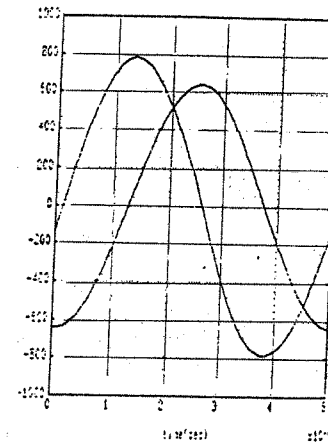
### طرایی اینورتر

با نگاه به شکل (۵) می توان دریافت که ولتاژ در سر بار و جریان کویل در حالت پایدار مدار، سینوسی خواهد بود. تحلیل زیر این مطلب را به اثبات می رساند.

اعمال جریان خروجی اینورتر به بار که دارای ترکیب موازی سلف و خازن می باشد موجب می گردد ولتاژ خروجی (دوسر بار) سینوسی گردد. شکل (۷) هارمونیکهای جریان کویل کوره و خازن جبران ساز را نشان می دهد. با نگاه به شکل می توان دریافت جریان کویل صرفاً از هارمونیک اول تشکیل شده است. به عبارت دیگر جریان کویل بر هارمونیک اول آن با تقریب بسیار خوبی متنطبق می باشد.



(a) پاسخ مدار بار به ورودی جریان نیم موج



(b) پاسخ مدار بار به ورودی جریان نیم موج

شکل (۸)



$$i_1 = 4/\pi I \sin \omega_T t \quad (22)$$

در نتیجه:

$$v_C = (4/\pi) I Z \sin(\omega_T t - \alpha) \quad (23)$$

$$v_{LD} = E - v_C \quad (24)$$

در حالت پایدار ولتاژ روی سلف نخواهیم داشت لذا داریم:

$$\int_0^{T/2} v_{LD} dt = 0 \quad (25)$$

و از آنجا مقدار جریان ورودی به اینورتر به دست می‌آید:

$$I = \pi^2 E / (8Z \cos \alpha) \quad (26)$$

حال می‌دانیم:

$$\begin{cases} v_{SI} = 0 & 0 < \omega_T t < \pi \\ v_{SI} = -v_C & \pi < \omega_T t < 2\pi \end{cases}$$

از آنجا ماکزیمم ولتاژ مستقیم دو سر تریستور به دست می‌آید:

$$V_{sm} = (4/\pi) I Z \quad (27)$$

که برای کوره مورد نظر این مقدار برابر  $1080$  ولت به دست آمده است.

ولتاژ، جریان و زمان را به ترتیب نسبت به مقادیر  $1/\omega_T, E\omega_T, C, E$  نرمالیزه کرده و داریم:

$$V_{smn} = V_{sm}/E = A \quad (28)$$

$$dv_{sp}/d\theta = A \quad (29)$$

$$I_h = \pi AB / (4P) \quad (30)$$

$$di_{sp}/d\theta = (\pi L / 4L_s PQ) \operatorname{tg}\phi \quad (31)$$

افزایش یافته و امپدانس نشان داده شده با  $1/C\omega$  به همان مرتبه کاهش می‌یابد، لذا بار خازن می‌تواند هارمونیکهای غیرهارمونیک اصلی جریان را بای پس کند و لذا شکل موج ولتاژ دو سر بار با تقریب بسیار خوبی سینوسی است.

### تحلیل معادلات بار در هارمونیک اصلی

به لحاظ سینوسی بودن ولتاژ دو سر بار می‌توان معادلات مدار را به طریق فازوری حل نمود. اینورتر مورد نظر از نوع اینورتر پل تک فاز با کمotaسیون بار می‌باشد، لذا می‌توان رابطه بین ولتاژ ورودی و خروجی آن را به صورت زیر بیان نمود:

$$E = 0.9 V_{rms} \cos \alpha \quad (17)$$

که در آن  $\alpha$  زاویه آتش تریستور می‌باشد.  
با مراجعه مجدد به شکل (۴) می‌توان نوشت.

$$Z_{ab} = \frac{R(1+JQ)}{(1-PQ)+JP} = Z < -\alpha \quad (18)$$

که در آن:

$$Z = R [(1+Q^2)/[(1-PQ)^2 + P^2]]^{1/2} \quad (19)$$

$$\alpha = \operatorname{arc tg} [P(1+Q^2) - Q]$$

$$Q = L\omega_T/R \quad PQ = \omega_T^2 LC = (\omega_T/\omega_0)^2$$

$$P = \omega_T RC$$

برای اینکه  $Z_{ab}$  خازنی گردد باید  $\alpha$  مثبت باشد در نتیجه داریم:

$$P(1+Q^2) - Q > 0 \quad (20)$$

یا:

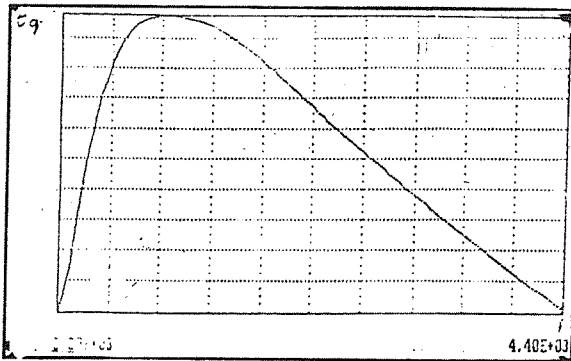
$$PQ > \frac{Q^2}{1+Q^2} \quad (21)$$

از شکل b-۴ داریم:



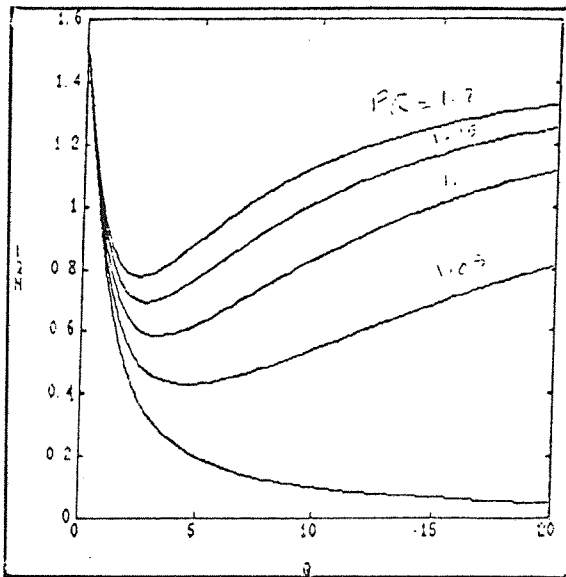
منحنی تغییرات  $t_q$  نسبت به  $f$  در شکل ۸ رسم شده است.

که در آن:



شکل (۸) منحنی تغییرات زمان خاموشی نسبت به فرکانس

این منحنی دارای مقدار ماکزیممی در فرکانس نزدیک فرکانس رزونانس می باشد، لذا حتی با صرف نظر کردن از مسائل دیگر نیز به دلخواه نمی توان فرکانسی را تا هر جای ممکن تغییر داد. با دقت به منحنی مذبور معلوم می گردد که زمان خاموشی تریستور در فرکانس حدود دو برابر مقدار فرکانس هارمونیک اصلی مجدداً به مقدار قبلی خود می رسد. این بدین خاطر است که صورت کسر بعد از رسیدن به مقدار ماکزیمم خود ثابت می ماند. در شکل ۹ منحنی تغییرات  $t_q$  نسبت به  $Q$  رسم شده است.



شکل (۹) منحنی تغییرات زمان خاموشی  $t_q$  نسبت به  $Q$

همچنان گه در شکل مشاهده می گردد با افزایش مقدار  $P_Q$  مقدار  $t_q$  نیز افزایش می یابد.  $P_Q$  معیاری برای افزایش

$$A = \pi / (2 \cos \alpha), \omega_T t = \theta \quad (32)$$

$$B = [\{(1 - PQ)^2 + P^2\} / (1 + Q^2)]^{1/2} \quad (33)$$

در نتیجه داریم:

$$d i_s / d \theta \propto L / L_s \quad (34)$$

### محاسبه زمان خاموشی تریستور

برای به دست آوردن خاموشی تریستور از طریق اندازه گیری اختلاف فاز بین هارمونیک اصلی جریان مربوط و ولتاژ دو سر بر اقدام می کنیم، باید توجه داشت که هارمونیک اصلی جریان هم فاز با جریان مربوط است. برای این منظور زمان خاموشی تریستور  $S_1$  را محاسبه می کنیم، لذا باید زمانی که  $V_{S1}$  به صفر می رسد را به دست آوریم.

$$\pi \leq \omega_T t < 2\pi \quad V_{S1} = 0$$

بدون درنظر گرفتن زمان همپوشانی (بین دو تریستور) خواهیم داشت:

$$\sin(\omega_T t_q - \alpha) = 0 \quad (35)$$

در نتیجه:

$$t_{qn} = \omega_T t_q = \alpha \quad (36)$$

و از آنجا مقدار  $t_q$  به دست می آید البته  $t_q$  نهایی بعد از تعیین زمان هم پوشانی محاسبه می گردد. با افزایش اختلاف فاز جریان و ولتاژ، زمان خاموشی تریستور افزایش می یابد، این مسئله تا موقعی ادامه می یابد که تأثیر  $\omega$  قابل صرف نظر کردن باشد. زمان خاموشی برای کوره مورد نظر  $55/5 \mu s$  به دست آمده است. رابطه زمان خاموشی تریستور با فرکانس عبارت است از:

$$t_q = [\text{Arc} \operatorname{tg} (\frac{L \omega_T - L^2 \omega^3 C - R^2 C \omega}{R})] / 2\pi f \quad (37)$$



$$\psi = \omega_T t_D / 2 \quad (39)$$

در نتیجه:

$$v_C = 4/\pi IZ \sin(\omega_T t - \alpha - \psi) \quad (40)$$

از شکل (۱۰-۳) داریم:

$$L_s di/dt = -v_C \quad (41)$$

$$i_{s1} + i_{s3} = I \quad (42)$$

$$i = i_{s1} - i_{s3} \quad (43)$$

در نتیجه داریم:

$$i_{s3} = (I - i)/2 \quad (44)$$

با انتگرال گیری از رابطه (۴۱) داریم:

$$i = I - \frac{4IZ}{\pi \omega_T L} [\cos(\omega_T t - \alpha - \psi) - \cos(\alpha + \psi)] \quad (45)$$

حال داریم:

$$i(\omega_T t_D) = -I \quad (46)$$

و در نتیجه:

$$2\psi = \omega_T t_D = \pi \omega_T L_s / (2Z \sin \alpha) \quad (47)$$

واز آنجا زمان  $t_D$  به دست می آید:

$$t_D = \pi L_s / (2Z \sin \alpha) \quad (48)$$

می توان نوشت:

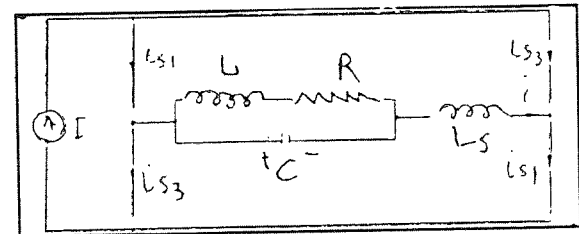
$$Z = R/B \quad (49)$$

$$\omega_T / R = Q/L \quad (50)$$

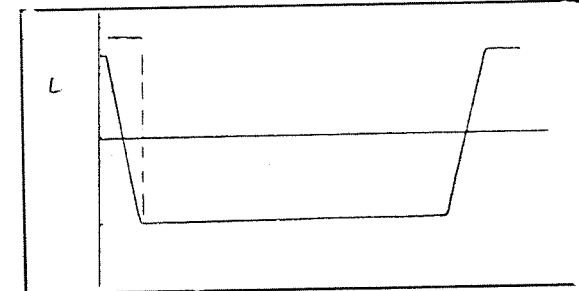
فرکانس سویچینگ از فرکانس رزونانس می باشد. مقدار  $P_Q = 1$  پارامتر مناسبی برای طراحی نمی باشد، چرا که در این حالت  $t_D$  کوچک بوده و به طور قابل ملاحظه ای با افزایش  $Q$ ، کاهش خواهد یافت به همین خاطر معتملاً  $P_Q = 1.05$  پیشنهاد می گردد.

### وضعیت کموتاسیون باز

هنگامی که کموتاسیون تریستورها صورت می گیرد، به علت وجود سلف  $di/dt$ ، جریان ورودی به بار نمی تواند به صورت لحظه ای تغییر کند. زمان لازم برای جابجایی جریان از یک جفت تریستور به یک جفت دیگر را زمان همپوشانی نامیده و با  $t_D$  نشان می دهیم. در این بازه زمانی هر چهار تریستور روشن خواهد ماند. شکل (۱۰-a) مدار معادل سیستم، در لحظه کموتاسیون  $t_D$  و شکل (۱۰-b) جریان عبوری از سلف  $di/dt$  را نشان می دهد.



(a) مدار معادل سیستم در لحظه کموتاسیون



(b) جریان عبوری

شکل (۱۰)

باشرط  $\omega_T t_D < \pi$  دامنه هارمونیک اصلی جریان یعنی  $i_1$  بدون تغییر و برابر دامنه هارمونیک شکل موج (۱۰-b) باقی خواهد ماند. در نتیجه می توان نوشت:

$$i_1 = 4/\pi I \sin(\omega_T t - \psi) \quad (38)$$

که در آن:



با فرض اینکه:

$$v_C(\pi) \geq E \quad (53)$$

لذا داریم:

$$\tan \alpha \geq 2/\pi \quad (54)$$

در این حالت جریان  $i_D$  در لحظه  $t_1$  به مقدار ماکزیمم خود و در لحظه  $t=0$  به مقدار مینیمم خود می‌رسد.

لذا داریم:

$$V_{LD} = E - (4/\pi) IZ \sin(\omega_T t - \alpha) \quad (55)$$

از آنجائی که

$$V_{LD}(\omega_T t_1) = 0 \quad (56)$$

در نتیجه داریم:

$$\omega_T t_1 = \arcsin(1/A) + \alpha$$

و از آنجا زمان  $t_1$  به دست می‌آید.  
برای به دست آوردن ریلیل جریان داریم:

$$\begin{aligned} \Delta I &= \frac{1}{\omega_T L_D} \int_0^{\omega_T t_1} V_{LD} d(\omega_T t) = \frac{E}{\omega_T L_D} [\omega_T t_1 \\ &\quad + A [\cos(\omega_T t_1 - \alpha) - \cos \alpha]] \end{aligned} \quad (57)$$

از جایگذاری مقادیر  $E$  و  $t_1$  در رابطه بالا خواهیم داشت:

$$\begin{aligned} L_D/L &= \frac{4}{\pi ABQY} [\sin^{-1}(1/A) + \alpha \\ &\quad + A [\cos(\sin^{-1}(1/A)) - \cos \alpha]] \end{aligned} \quad (58)$$

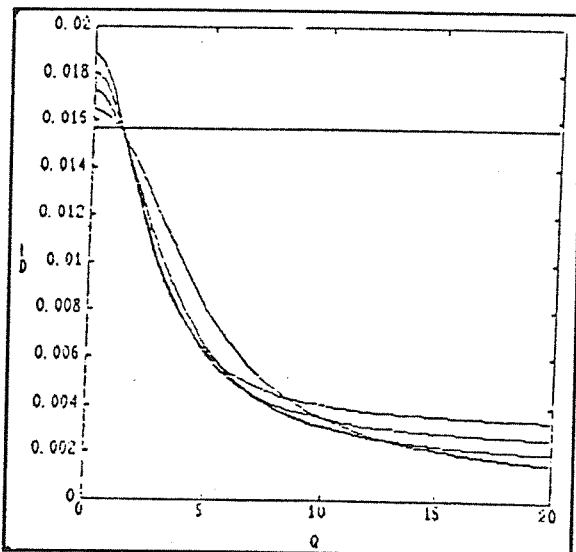
که در آن:

$$Y = \Delta I/I \quad (59)$$

از دو رابطه بالا رابطه (۴۷) تبدیل به رابطه زیر می‌شود:

$$2\psi = \pi B Q L / 2L \sin \alpha \quad (51)$$

منحنی مشخصه زمان همپوشانی در شکل (۱۱) نشان داده شده است.



شکل (۱۱) منحنی مشخصه زمان همپوشانی بر حسب  $Q$

در  $PQ=1$  زمان همپوشانی ماکزیمم مقدار خود را داراست، و حتی در  $Q$  های بالا مقدار آن قابل مقایسه با زمان خاموشی تریستور می‌گردد. لذا در  $PQ=1$  زمان مؤثر خاموشی تریستور شدیداً کاهش می‌یابد. برای  $PQ>1.05$  بازه زمانی مذکور کوچکتر شده و از آن روی زمان خاموشی تریستور کاهش یافته و قابل صرف نظر کردن می‌گردد. در نهایت مقدار واقعی  $t_1$  به دست می‌آید:

$$t_{qn} = t_{qn} - 2\psi \quad (52)$$

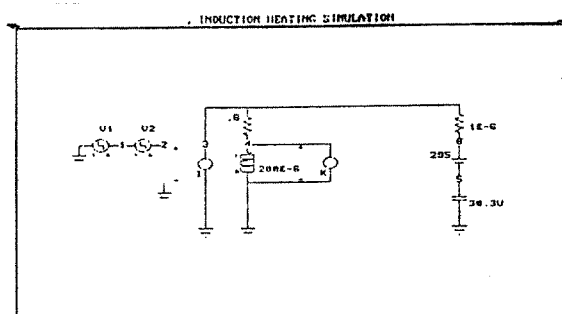
### محاسبه سلف صاف کننده جریان مستقیم

همان طوری که قبلاً اشاره شد، منبع ولتاژ  $E$  همراه با سلف  $L_d$  (لینک DC) موجب صاف شدن جریان ورودی اینورتر خواهد شد. به همین دلیل منبع ولتاژ مزبور را همراه با سلف  $L_d$  به صورت منبع جریان مدل نمودیم. انتخاب سلف  $L_d$  بر این مبنای صورت می‌پذیرد که تاحد امکان ریلیل جریان کم شود جریان عبوری از  $L_d$  دارای دو نقطه ماکزیمم و می‌نیم می‌باشد. که در آنها  $V_{ld}=0$  است.



منحنی های  $L_d$  برای 10% ریل در شکل (۱۲) رسم شده است.

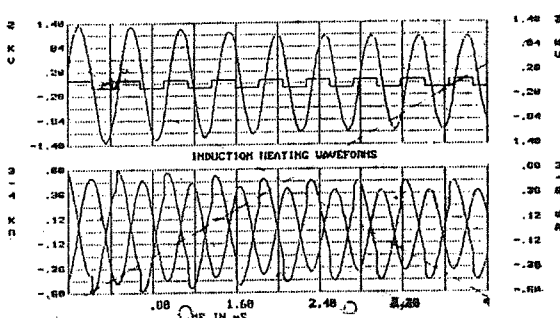
**M cap** مورد تحلیل قرار گرفته و با استفاده از آنالیز حالت گذرا، شکل موج ولتاژ و جریان بار به دست آمده است. شکل (۱۳) مدل به کار رفته در این برنامه را نشان می دهد. در این شکل جریان اولیه کویل به صورت منبع جریان (K) موازی با کویل و ولتاژ اولیه خازن به صورت منبع ولتاژ سری با خازن مدل شده است.



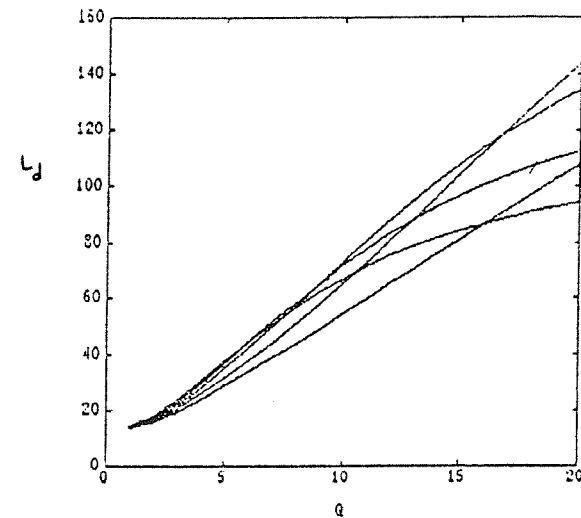
شکل (۱۳) مدل استفاده شده در برنامه Mcap

شکل (۱۴) نیز موجهای به دست آمده توسط برنامه را نشان می دهد. قسمت بالای شکل موج، جریان (منبع ولتاژ وابسته) و ولتاژ دو سر بار و قسمت پایین شکل نیز جریان کویل و خازن را نشان می دهد. نتایج به دست آمده از **M cap** را می توان این گونه بیان کرد:

- الف- بعد از حالت گذرا مدار پایدار می گردد.
- ب- شکل موج ولتاژ بار و جریان کویل سینوسی است.
- ج- شکل موج جریان خازن دارای اعوجاج می باشد.
- د- دامنه ولتاژ به دست آمده از آن برابر با دامنه ولتاژ محاسبه شده می باشد.
- ه- زمان خاموشی سازی نیز برابر با زمان خاموشی سازی محاسبه شده می باشد.



شکل (۱۴) نتایج به دست آمده از M cap



شکل (۱۲) منحنی تغییرات  $L_d$  نسبت به Q برای ریل 10%

پیچیدگی منحنی ها بر مبنای طبیعت ریل جریان می باشد هنگامی که ریل جریان یعنی  $y$  مشخص باشد انتخاب  $L_d$  بستگی به  $Q$  و  $P_Q$  خواهد داشت.

محاسبه شدت تغییرات جریان بار ( $di/dt$ ) رابطه (۴۴) را مجدداً می نویسیم:

$$i_{S3} = (I - i)/2$$

$i_{S3}$  در واقع جریان تریستوری است که در این مرحله می خواهد روش شود، لذا باید برای محاسبه تغییرات جریان از  $i_{S3}$  نسبت به زمان مشتق گرفت و داریم:

$$dis_{S3}/dt = (2IZ/\pi L_S) \sin(\omega_T t - \alpha - \psi) \quad (60)$$

که مقدار آن در لحظه روشن شدن عبارت است از:

$$dis/dt|_{t=0} = (2IZ/\pi L_S) \sin(\alpha + \psi) \quad (61)$$

با در نظر گرفتن  $L_S$  مناسب می توان مقدار  $di/dt$  را کنترل نمود.

تحلیل مدار با استفاده از بسته نرم افزاری **M cap** در این قسمت مدار با استفاده از بسته نرم افزاری

## محدوده عملکرد مطمئن اینورتر

در طراحی اینورتر جهت تغذیه کوره القابی دو مسأله حائز اهمیت می باشد.

### الف- تغییرات بار

خاصیت مغناطیسی فلزات آهنی موجب می گردد فرآیند حرارتی این نوع فلزات تغییر فاحشی نسبت به دیگر فلزات داشته باشد. نرخ تضعیف حالت مغناطیسی آهنی در حرارت‌های پایین نسبتاً کم می باشد. ولی هنگامی که فلز از نقطه کوری (دما $750^{\circ}\text{C}$ ) می گذرد خاصیت مغناطیسی خود را تماماً از دست می دهد و به عنوان فلز غیر آهنی عمل می کند. تحت این شرایط اندوکتانس کوبیل به شدت کاهش یافته و نتیجتاً فرکانس روزانه افزایش سریع می یابد. اگر این مرحله از کار در طراحی مدارات کنترل منظور نگردد، سیستم از حالت پایدار خود خارج خواهد شد.

### نتیجه گیری:

روش ارائه شده جهت طراحی در عین ساده بودن بر اساس اصول محکمی استوار است. به علاوه در ک صبحی از عملکرد مدار و اثرات پارامترهای مدار روی عملکرد اینورتر را نشان می هد. نتایج به دست آمده از  $M_{cap}$  نیز مؤید نتایج محاسبه شده می باشد. توضیحات ارائه شده نشان می دهد که نسبت فرکانس سویچینگ به فرکانس روزانه بار بین  $1/15$  و  $1/105$  رنج مناسبی برای عملکرد اینورتر از جمله عملکرد صحیح کمotaسیون می باشد، لذا باید سیستم کنترل بتواند چنین تمهدی را صورت دهد.

### منابع:

- 1- "Latest developments in static high frequency power sources for induction heating", by B. R. Pelly, IEEE Trans. Ind. Electron. Contr. Instrum., Vol. IECI. 17, No.4 June 1970, pp. 297-312.
- 2- "A high frequency power supply for induction heating and melting" by George Havas & R. A. Sommer, IEEE.
- 2'- "A thyristor inverter for medium-frequency induction heating" by K. B.zhao, IEEE trans-

- actions on industrial electronics, Vol. IE-31, No. 1, February 1984.
- 3- "A static power supply for induction heating" by J. P. Landis.
- 4- "Practical design considerations for inverter drives" by carlton E. Graf. IEEE transactions on industry applications, Vol. IA-9, No. 5, September/October 1973.
- 5- "Application of thyristor inverters in induction heating and melting" by S. N. Okeke, Electronics



- & power, Vol. 24, P. 217-221, March 1978.
- 6- "Current-fed inverter for induction heating" by M. R. Roda, J. Inst. electron telecommun eng., Vol. 24, p. 81-85, 1985.
- 7- "New developments in high-frequency power sources" by william E.Frank, IEEE transactions on industry and general applications, Vol. IGA-6, No.1, January/February 1970.
- 8- "The rating and application of SCRs designed for power switching at high frequencies" by Raymond F. Dyer, IEEE transactions on industry and general applications, Vol. IGA-2, No. 1, Jan/Feb. 1966.
- 9- "Power electronics and applications" by Finny.
- 10- "Power electronics" by kjeld Thorborg, Prentice Hall.
- 11- "Electroheat 1" / University of loughborough.